



محله الکترونیک تولید گیاهان زراعی
جلد ششم، شماره دوم، تابستان ۹۲
۱-۱۶
<http://ejcp.gau.ac.ir>



بررسی تنوع ژنتیکی گندم‌های اینکورن با استفاده از نشانگرهای ریزماهواره

*هادی خارستانی^۱، علی‌اصغر نصراله‌نژادقمی^۲ و علی‌اشرف مهرابی^۳

^۱دانشآموخته کارشناسی ارشد گروه زراعت و اصلاح نباتات، دانشگاه ایلام، ^۲استادیار گروه زراعت و اصلاح نباتات، دانشگاه علوم کشاورزی و منابع طبیعی گرگان، ^۳استادیار گروه زراعت و اصلاح نباتات، دانشگاه ایلام

تاریخ دریافت: ۹۱/۰۳/۲۲؛ تاریخ پذیرش: ۹۲/۰۱/۱۴

چکیده

بهمنظور بررسی تنوع ژنتیکی ۲۲ جمعیت گندم اینکورن که شامل ۱۳ جمعیت *Triticum boeoticum* ۴ جمعیت *T. monococcum* و ۵ جمعیت *T. urartu* بود، از ۲۴ جفت آغازگر ریزماهواره ژنوم AA گندم نان استفاده شد که در نهایت ۲۰ نشانگر چندشکلی مناسب از خود نشان دادند. در مجموع ۸۶ آلل برای تمامی مکان‌های ژنی مشاهده گردید. میزان چندشکلی در مکان‌های ژنی، دامنه‌ای بین ۹-۲ آلل و میانگین ۴/۱ آلل برای هر مکان ژنی بود. محتوای اطلاعات چندشکلی از ۰/۰۹ برای نشانگر Xgwm99-1A تا ۰/۸۶ برای نشانگر Xgwm165-4A متفاوت بود. دندروگرام تجزیه خوشاید به دست آمده با استفاده از ماتریس نبود تشابه دایس و الگوریتم نزدیکترین همسایه، جمعیت‌ها را در ۳ گروه قرار داد که گندم‌های *T. monococcum* تهیه شده از Triticarte P/L استرالیا و دو جمعیت *T. urartu* در یک گروه قرار گرفتند اما جمعیت‌های *T. boeoticum* و *T. urartu* به خوبی از یکدیگر تفکیک نشدند. همچنین در این جمعیت‌ها هیچ‌گونه تفکیکی از نظر جغرافیایی و مولکولی مشاهده نشد که نشان‌دهنده شباهت ژنتیکی بین جمعیت‌های مربوط به دو گونه می‌باشد. اما جمعیت‌های جمع‌آوری شده از شمال‌غرب ایران تنوع بیشتری نسبت به جمعیت‌های جمع‌آوری شده از غرب کشور نشان دادند. نتایج نشان داد که تنوع ژنتیکی در غرب و شمال‌غرب کشور بالا بود و می‌توان از این تنوع برای پیدا کردن ژن‌های مقاومت به تنش‌های زیستی و غیرزیستی استفاده کرد.

واژه‌های کلیدی: اینکورن، تنوع ژنتیکی، ریزماهواره، ژنوم AA، گندم.

*مسئول مکاتبه: kharestanihadi982@gmail.com

مقدمه

جنس *Triticum* را از نظر سیتوژنتیکی می‌توان به ۴ گروه تقسیم کرد که شامل گندم‌های اینکورن^۱ (۲n=۲x=۱۴، AA)، امر^۲ (۲n=۴x=۲۸، AABB)، تیموفوی^۳ (۲n=۴x=۲۸، AAGG) و گندم نان (۲n=۶x=۴۲، ABBDD) گونه T. urartu و T. boeoticum، T. monococcum می‌باشد. گونه زراعی T. monococcum از گندم‌های اینکورن محسوب می‌شوند (میزوموتو و همکاران، ۲۰۰۲). گونه زراعی AA از گونه وحشی T. boeoticum منشأ گرفته است. اگرچه هر ۳ گونه دارای ژنوم AA می‌باشد، اما منشأ ژنوم AA گندم نان، T. urartu می‌باشد (دووراک و همکاران، ۱۹۹۳). خاورمیانه زیستگاه اولیه گندم‌های اینکورن می‌باشد که در قسمت‌های شمال و شرق هلال حاصل خیزی قرار دارند (هارلن و زوهاری، ۱۹۹۶). ایران یکی از مراکز اصلی توزیع گندم‌های وحشی می‌باشد (کیمیر و فلدمن، ۱۹۸۷) اما اطلاعات کمی از تنوع ژنتیکی و نحوه پراکنش جمعیت گندم‌های وحشی در این منطقه در دسترس می‌باشد. این نشان می‌دهد که جمعیت‌های وحشی جنس *Triticum* در این منطقه دارای سطوح بالایی از تنوع ژنتیکی هستند و از آنجا که این گندم‌ها به عنوان اجداد گندم شناخته می‌شوند، بررسی تنوع ژنتیکی آن‌ها می‌تواند اطلاعات زیادی برای استفاده از این منابع ژنتیکی در برنامه‌های اصلاحی در اختیار ما قرار دهد. روش‌هایی که برای تخمین تنوع ژنتیکی مورد استفاده قرار گرفته‌اند متفاوت می‌باشدند. از جمله آن‌ها می‌توان ثبت شجره، خصوصیات مورفولوژیکی و نشانگرهای مولکولی را نام برد (کاکس و همکاران، ۱۹۸۵). آگاهی از تنوع ژنتیکی ژرم‌پلاسم‌ها معیاری مناسب برای استفاده از آن‌ها در شناسایی و انتقال ژن‌ها در بهبود گیاهان زراعی می‌باشد. جنس *Triticum* به عنوان ذخایر مطلوب مقاومت به تنش‌های زیستی از جمله حشرات و پاتوژن‌ها و تنش‌های غیرزنده مانند مقاومت به خشکی و شوری مطرح می‌باشد (وانگ و همکاران، ۲۰۰۷). برای بررسی تنوع ژنتیکی گندم نشانگرهای زیادی مورد استفاده قرار گرفته‌اند. در ابتدا خصوصیات مورفولوژیکی به عنوان نشانگر برای ارزیابی تنوع ژنتیکی مورد استفاده قرار می‌گرفت اما این نشانگرهای بیشتر تحت تأثیر محیط بوده و قابل اطمینان نیستند. به هر حال نشانگرهای مبتنی بر DNA^۴ برای اصلاح گیاهان زراعی روند رو به رشدی داشته‌اند (میلر و همکاران، ۱۹۸۹). نشانگرهای مبتنی بر PCR^۵ از جمله RAPD^۶، AFLP^۷ و

1- Einkorn

2- Emmer

3- Timophevii

4- Deoxyribo Nucleic Acid

5- Polymerase Chain Reaction

6- Random Amplified Polymorphism DNA

7- Amplified Fragment Length Polymorphism

ریزماهواره‌ها^۱ ابزاری قدرتمند برای مطالعه تنوع ژنتیکی گندم‌های زراعی و وحشی محسوب می‌شوند (سلیمانی و همکاران، ۲۰۰۲). ریزماهواره‌ها نشانگرهای مبتنی بر PCR هستند که به خاطر سطوح بالای چندشکلی، چندالی بودن، و راثت هم‌بارز، پوشش وسیع ژنوم و سهولت در آشکارسازی می‌توان از آن‌ها برای بررسی تنوع بین گونه‌های وحشی و زراعی استفاده کرد (پلاشکه و همکاران، ۱۹۹۵). به هر حال ریزماهواره‌ها به صورت گسترده در مطالعات مختلف گندم از جمله نقشه لینکاز، نقشه‌یابی ژن‌های کترل‌کننده خصوصیات کمی، انتخاب به کمک نشانگر و بررسی فیلوزنیک مورد استفاده قرار می‌گیرند (سومرس و همکاران، ۲۰۰۴؛ پیلارد و همکاران، ۲۰۰۳؛ تکلو و همکاران، ۲۰۰۶؛ لی و همکاران، ۲۰۰۰). در حقیقت ریزماهواره‌ها به خاطر و راثت هم‌بارز، چندشکلی بالا و چندالی بودن برای پی بردن به تنوع ژنتیکی از اهمیت بالایی برخوردار هستند. هدف از این پژوهش بررسی تنوع ژنتیکی گندم‌های اینکورن با استفاده از نشانگرهای ریزماهواره و به دست آوردن تنوع موجود در بین این گندم‌ها برای اهداف اصلاحی و همچنین تنوع ژنتیکی درون و بین گونه‌های مختلف گندم اینکورن می‌باشد.

مواد و روش‌ها

بذرهای ۲۲ جمعیت از ۳ گونه مختلف گندم اینکورن شامل سیزده جمعیت *T. boeoticum* ۴ جمعیت *T. urartu* و ۵ جمعیت *T. monococcum* از استان‌های غربی، شمال‌غربی و L استرالیا جمع‌آوری و تهیه شد (جدول ۱). از ۳-۴ گیاهچه دو هفتنه‌ای به دست آمده از کشت بذرها با روش CTAB^۲ (دویول و همکاران، ۱۹۸۷) و به صورت توده‌ای DNA استخراج شد. برای تعیین کمیت و کیفیت DNA استخراج شده از ژل آگارز ۰/۸۰ درصد استفاده شد. برای بررسی تنوع ژنتیکی بین جمعیت‌ها ۲۴ جفت آغازگر ریزماهواره مورد استفاده قرار گرفت (جدول ۲). حجم نهایی واکنش ۲۵ میکرولیتر بود که شامل ۲/۵۰ میکرولیتر بافر ۱x، ۲ میکرولیتر آنزیم تک‌پلی‌مراز، ۲۰۰ میکرومول از انواع DNTP^۳، ۰/۵۰ میکرولیتر از هر یک از آغازگرهای رفت و برگشت، ۱ میکرولیتر کلرید منیزیم و ۸۰ نانوگرم DNA بود.

1- Microsatellites

2- Cetyltrimethyl Ammonium Bromide

3- Deoxyribonucleotide Triphosphate

مجله الکترونیک تولید گیاهان زراعی، جلد ششم (۲)، ۱۳۹۲

جدول ۱- اطلاعات محل جمع‌آوری نمونه‌های گندم‌های اینکورن مورد استفاده در این پژوهش.

ردیف	جنس	گونه	محل جمع‌آوری	ردیف	جنس	گونه	محل جمع‌آوری	ردیف	جنس	گونه	محل جمع‌آوری
۱	تریتیکوم	بوئیتیکوم	قروه	۱۲	تریتیکوم	بوئیتیکوم	جنونقان- چهارمحال بختیاری	۱۲	تریتیکوم	بوئیتیکوم	جنونقان- سفیددشت
۲	تریتیکوم	بوئیتیکوم	کرمانشاه	۱۳	تریتیکوم	بوئیتیکوم	مریوان	۱۴	اهر	بوئیتیکوم	تریتیکوم
۳	تریتیکوم	بوئیتیکوم	خرم‌آباد	۱۵	تریتیکوم	بوئیتیکوم	شهرکرد	۱۶	تبزیز	بوئیتیکوم	تریتیکوم
۴	تریتیکوم	بوئیتیکوم	مریوان	۱۷	تریتیکوم	بوئیتیکوم	ناغان	۱۸	کرمانشاه	بوئیتیکوم	تریتیکوم
۵	تریتیکوم	بوئیتیکوم	مریوان	۱۹	تریتیکوم	مونوکوکوم	Triticarte P/L استرالیا	۲۰	اسلام‌آباد	بوئیتیکوم	تریتیکوم
۶	تریتیکوم	بوئیتیکوم	کرمانشاه	۲۱	تریتیکوم	مونوکوکوم	Triticarte P/L استرالیا	۲۲	ناغان	بوئیتیکوم	تریتیکوم
۷	تریتیکوم	بوئیتیکوم	کرمانشاه	۲۲	تریتیکوم	مونوکوکوم	Triticarte P/L استرالیا	۱۱	سفیددشت	بوئیتیکوم	تریتیکوم
۸	تریتیکوم	بوئیتیکوم	طالقان	۱۹	تریتیکوم	مونوکوکوم	Triticarte P/L استرالیا	۹	اسلام‌آباد	بوئیتیکوم	تریتیکوم
۹	تریتیکوم	بوئیتیکوم	تریتیکوم	۲۰	تریتیکوم	مونوکوکوم	Triticarte P/L استرالیا	۱۰	ناغان	بوئیتیکوم	تریتیکوم
۱۰	تریتیکوم	بوئیتیکوم	تریتیکوم	۲۱	تریتیکوم	مونوکوکوم	Triticarte P/L استرالیا	۱۱	سفیددشت	بوئیتیکوم	تریتیکوم
۱۱	تریتیکوم	بوئیتیکوم	تریتیکوم	۲۲	تریتیکوم	مونوکوکوم	Triticarte P/L استرالیا				

جدول ۲- مشخصات آغازگرهای مورد استفاده به همراه میزان اطلاعات چندشکلی آنها.

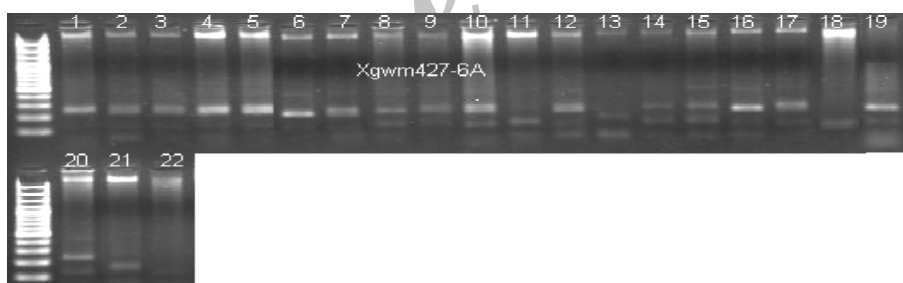
مکان زنی	آغازگر چپ	آغازگر راست	موتفی	دماز اتصال
Xgwm164-1A	ACA TTT CTC CCC CAT CGTC	TTG TAA ACAAT CGC ATG CG	GA (37)	۵۵
Xgwm99-1A	AAG ATG GAC GTA TGC ATCAC	GCC ATA TTGAT GAC GCA TA	CA (21)	۶۰
Xgwm497-1A	GTA GTG AAG ACA AGG GCATT	CCG AAA GTTGGG TGA TAT AC	GT (29)	۵۵
Xgwm357-1A	GGT CAA AGT TGG ACC TCG TAT	AGG CTG CAG CTC TTC AG	GA (18)	۵۵
Xgwm10-2A	CGC ACC ATC TGT ATC ATTCTG	TGG TCG TACCAA AGT ATA CGG	AT (5) GT (15)	۵۰
Xgwm249-2A	CAA ATG GAT CGA GAA AGGGA	CTG CCA TTTTC TGG ATCTACC	GA (11) GGA (8)	۵۵
Xgwm95-2A	GAT CAA ACA CAC ACC CCTCC	AAT GCA AAGTGA AAA ACC CG	GA (11)	۶۰
Xgwm312-2A	GCA TGA TGC ACG TAG AG ATC	ACA TGC ATG CCT ACCTAA TGG	GA (37)	۶۰
Xgwm372-2A	AGA GCC CTG GGA CTG GG AAT	GAA GGA CGA CAT TCC ACC TG	GA<51	۶۰
Xgwm2-3A	CTG CAA GCC TGT GAT CAACT	CAT TCT CAAATG ATC GAA CA	AC (16)	۵۰
Xgwm369-3A	CTG CAG GCC ATG ATGATG	ACC GTG GGTGTT GTG AGC	CT (1) T (2) CT (21)	۵۵
Xgwm32-3A	TAT GCC GAA TTT GTG GACAA	TGC TTG GTCTTG AGC ATC AC	GA (19)	۶۰
Xgwm162-3A	AGT GGA TCG ACA AGG CTCTG	AGA AGA AGCAAA GCC TTC CC	CA (14) AAC (4)	۵۵
Xgwm4-4A	GCT GAT GCA TAT AAT GCTGT	CAC TGT CTGTAT CAC TCT GCT	CA (13) TA (26)	۶۰
Xgwm165-4A	TGC AGT GGT CAG ATG TTTCC	CTT TTC TTTCAG ATT GCG CC	GA (60)	۶۰
Xgwm397-4A	TGT CAT GGA TTA TTT GGTCCG	CTG CAC TCTCGG TAT ACC AGC	CT (55)	۵۵

هادی خارستانی و همکاران

ادامه جدول ۲- مشخصات آغازگرهای مورد استفاده به همراه میزان اطلاعات چندشکلی آنها

دماهی اتصال	موتیف	آغازگر راست	آغازگر چپ	مکان ژنی
۶۰	CA (15)	GTT GAG TTGATG CGG GAG G	CAC ACG CTC CAC CAT GAC	Xgwm126-5A
۶۰	GT (14)	CAA TGC AGGCC TCC TAA C	CCA ACC GTG CTA TTA GTCATT C	Xgwm156-5A
۵۰	GA (19)	AAC ATG TGTGTT TAG CTA TC	AAT TTC AAA AAG GAG AGAGA	Xgwm334-6A
۵۰	CA (31) CA (22)	AGT GTG TTCATT TGA CAG TT	AAA CCT AGA ACT GTA ATTCA GA	Xgwm427-6A
۶۰	GA (23)	GTG CTC TGCTCT AAG TGT GGG	ACC ACT GCA GAG AAC ACATAC G	Xgwm169-6A
۶۰	GT (14) GT (18)	ATG GGT AGC TGA GAG CCA AA	CCT TTT ACA GTC GGC TCG	Xgwm570-6A
۶۰	GT (22)	CTC CTC TTTATA TCG CGT CCC	AGC TCT GCT TCA CGA GGAAG	Xgwm130-7A
۶۰	CA (21)	TTG TAA ACAAT CGC ATG CG	ACA TTT CTC CCC CAT CGTC	Xgwm99-7A

چرخه‌های PCR به صورت، ۴ دقیقه دماهی ۹۴ درجه سانتی‌گراد، ۳۵ چرخه (۳۰ ثانیه دماهی ۹۴ درجه سانتی‌گراد ۳۰ ثانیه دماهی ۵۵ ۶۰ یا ۶۵ درجه سانتی‌گراد و ۳۰ ثانیه دماهی ۷۲ درجه سانتی‌گراد) و در نهایت ۱۰ دقیقه دماهی ۷۲ درجه سانتی‌گراد بود. محصولات PCR به مدت ۷۵ دقیقه بر روی ژل آگارز ۱/۵۰ درصد تفکیک و با استفاده از اتدیوم بروماید^۱ رنگ‌آمیزی شدند (شکل ۱).



شکل ۱- الگوی نواری تولید شده توسط آغازگر xgwm427-6A بر روی آگارز ۱/۵۰ درصد.

برای امتیازبندی باندها برای حضور باندها عدد ۱ و حضور نداشتن صفر داده شد. در نهایت با استفاده از نرمافزار DARwin5.0.146، ماتریس نبود تشابه دایس با الگوریتم نزدیکترین همسایه^۲ و دندروگرام^۳ با استفاده از نرمافزار Mega3.1 ترسیم شد. برای تجزیه خوش‌های ژنتیکی گندم از

1- Etedium Bromide

2- Neighbor Joining

3- Dendrogram

ماتریس نبود تشابه به دست آمده براساس ضریب تشابه دایس استفاده شد. علت انتخاب این ضریب به عنوان ضریب مناسب برای تشکیل ماتریس نبود تشابه آن است که اولاً ضریب کوفتیک مربوط به آن بالا بود ($r=0.84$) و ثانیاً این ضریب از قابلیت بالایی برای تجزیه و تحلیل نشانگرهای همبارز برخوردار است. برای انجام این محاسبه‌ها از نرم‌افزار XLSTAT2010 استفاده شد. برای بررسی قدرت تفکیک نشانگرهای محتوای اطلاعاتی پلی‌مورفیک^۱ هر نشانگر با استفاده از نرم‌افزار Excel و روش اندرسون و همکاران (۱۹۹۳) محاسبه شد:

$$PIC = 1 - \sum_{i=1}^n P_i^r \quad \text{معادله (۱)}$$

که در آن، P_i : فراوانی هر ال در مکان i ، n : تعداد ال و i : تعداد نمونه‌ها می‌باشد. تجزیه به مختصات اصلی به منظور بررسی تنوع ژنتیکی با استفاده از محاسبه ماتریس نبود تشابه دایس^۲، در نرم‌افزار DARwin5.0.146 انجام گرفت. برای محاسبه تنوع درون‌گروهی و بین‌گروهی جمعیت مربوط به هر گونه تفکیک شده سپس با استفاده از نرم‌افزار Mega3.1 تنوع مربوط به درون هر گروه و بین هر گروه محاسبه شد.

نتایج و بحث

از ۲۴ جفت آغازگر ریزماهواره مورد استفاده در این پژوهش ۲۰ نشانگر چندشکلی مناسب مورد استفاده قرار گرفت. از این ۲۰ نشانگر در مجموع ۸۶ ال به دست آمد. تعداد ال‌ها در مکان‌های چندشکل بین ۲-۹ ال متغیر بود و میانگین ال در هر مکان برابر با 4.10 ± 1.00 ال بود (جدول ۳). بیشترین تعداد ال مربوط به نشانگر Xgwm165-4A با ۹ ال بود. از آن‌جا که مناسب بودن هر مکان ژئی برای تخمين تنوع ژنتیکی براساس میانگین تعداد ال‌ل هر نشانگر ریزماهواره می‌باشد نشانگرهایی که تعداد ال زیادی داشته باشند برای بررسی تنوع ژنتیکی مناسب‌تر می‌باشد (رودر و همکاران، ۱۹۹۸). از طرف دیگر وجود تعداد ال بالا در جمعیت نشاندهنده تنوع ژنتیکی بالای جمعیت مورد بررسی می‌باشد.

1- Polymorphic Information Content
2- Dice

هادی خارستانی و همکاران

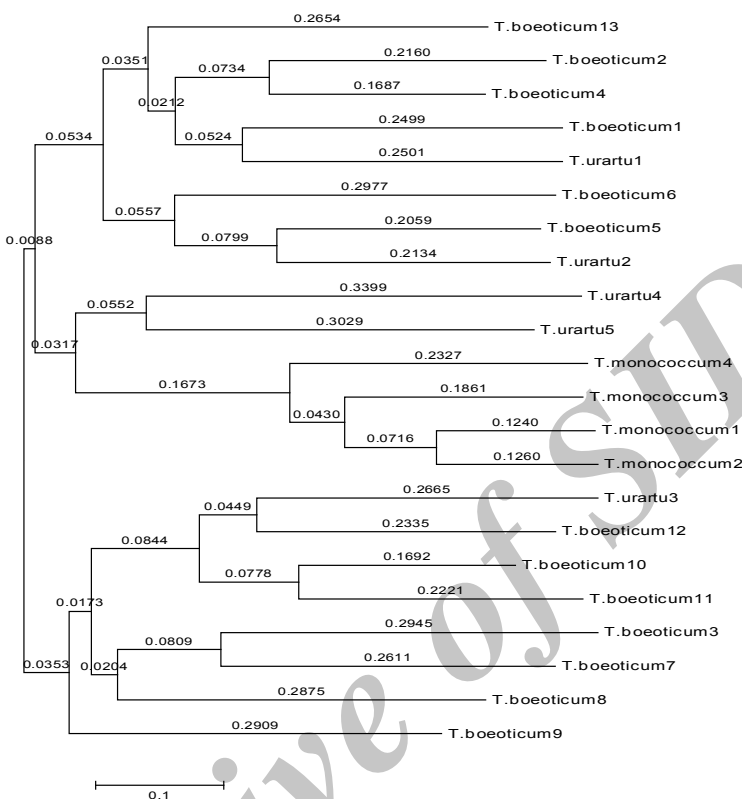
جدول ۳- تعداد الـلـ، تعداد الـلـهـای چند شـکـل و مـيزـانـ اـطـلاـعـاتـ چـندـشـكـلـ آـغـازـگـرـهـایـ مـورـدـ استـفـادـهـ.

PIC value	تعداد الـلـهـایـ چـندـشـكـلـ	تعداد الـلـ	مـكانـ ژـنـیـ
۰/۴۹	۲	۲	Xgwm164-1A
۰/۰۹	۲	۲	Xgwm99-1A
۰/۶۷	۳	۳	Xgwm497-1A
--	--	۱	Xgwm357-1A
۰/۵۲	۳	۳	Xgwm10-2A
۰/۶۹	۴	۴	Xgwm249-2A
۰/۶۴	۳	۳	Xgwm95-2A
--	--	۱	Xgwm312-2A
--	--	۱	Xgwm372-2A
۰/۸۴	۷	۷	Xgwm2-3A
۰/۶۷	۳	۳	Xgwm369-3A
۰/۶۳	۴	۴	Xgwm32-3A
۰/۴۹	۳	۳	Xgwm162-3A
۰/۷۸	۵	۵	Xgwm4-4A
۰/۸۶	۹	۹	Xgwm165-4A
۰/۷۵	۵	۵	Xgwm397-4A
۰/۶۷	۵	۵	Xgwm126-5A
۰/۷۶	۵	۵	Xgwm156-5A
۰/۷۲	۴	۴	Xgwm334-6A
۰/۷۶	۷	۷	Xgwm427-6A
۰/۱۰	۲	۲	Xgwm169-6A
--	--	۱	Xgwm570-6A
۰/۶۶	۴	۴	Xgwm130-7A
۰/۴۴	۲	۲	Xgwm99-7A
	۴/۱۰	۳/۵۸	مـيانـگـيـنـ
۰/۵۱	۸۲	۸۶	تـعدـادـ كـلـ

محتوای اطلاعات چندشکلی محاسبه شده نیز نشان داد که بیشترین محتوای اطلاعات چندشکلی مربوط به نشانگر Xgwm165-4A می‌باشد. براساس نتایج وایمن و همکاران (۱۹۹۴) در صورتی که محتوای اطلاعات چندشکلی بیشتر از $0/50$ باشد آن مکان دارای چندشکلی بالا، در صورتی که بین $0/25 < PIC < 0/50$ باشد متوسط و اگر کمتر از $0/25$ باشد محتوای اطلاعات چندشکلی کم می‌باشد. بر این اساس تمام آغازگرهای مورد بررسی به جز Xgwm169-6A و Xgwm99-1A دارای تنوع بالا یا متوسط بوده‌اند که می‌توان از اطلاعات این نشانگرها در برنامه‌های اصلاحی و ژنتیکی استفاده کرد. براساس تنوع ژنتیکی درون‌گروهی و بین‌گروهی به دست آمده بین این ۳ گونه بیشترین تنوع مربوط به *T. urartu* و کمترین تنوع مربوط به *T. monococcum* بود (جدول ۴). این نتایج با نتایج به دست آمده بهوسیله هامر و همکاران (۲۰۰۰) بر روی گندم‌های اینکورن مطابقت دارد به طوری که آن‌ها با بررسی گونه‌های مختلف اینکورن تنوع ژنتیکی بیشتری در *T. monococcum* و *T. boeoticum* نسبت به *T. urartu* مشاهده کردند. از طرف دیگر این دو گونه کمترین فاصله بین گونه‌ای را به خود اختصاص دادند. از این‌رو در دندروغرام ترسیم شده نیز این دو گونه در کنار هم قرار گرفته‌اند (شکل ۲).

جدول ۴- فاصله درون‌گروهی و بین‌گروهی نمونه‌های مورد بررسی.

فاصله بین‌گروهی		فاصله درون‌گروهی		
<i>T. urartu</i>	<i>T. boeoticum</i>	<i>T. urartu</i>	<i>T. urartu</i>	<i>T. monococcum</i>
$0/79$	$0/77$	$0/85$	$0/76$	$0/40$
			$0/71$	$0/71$



شکل ۲- گروه‌بندی ۲۲ نمونه گندم اینکورن با استفاده از روش دایس و الگوریتم نزدیکترین همسایه (NJ).

جمعیت‌ها با استفاده از ماتریس نبود تشابه دایس و الگوریتم نزدیکترین همسایه گروه‌بندی شدند. نتایج به دست آمده از این گروه‌بندی جمعیت‌ها را در ۳ گروه عمده قرار داد. در گروه اول ۲ جمعیت *T. urartu* و ۶ جمعیت *T. boeoticum* در گروه دوم، ۲ جمعیت *T. urartu* و ۴ جمعیت *T. monococcum* و در گروه سوم ۱ جمعیت *T. urartu* و ۷ جمعیت *T. boeoticum* قرار گرفتند (شکل ۲). دو گونه *T. boeoticum* و *T. urartu* اگرچه از نظر زنتیکی به عنوان دو گونه متفاوت شناخته می‌شوند اما از نظر مورفولوژیکی به یکدیگر بسیار شبیه می‌باشند و میوز طبیعی دارند به طوری که کروموزوم‌های آن‌ها با یکدیگر جفت می‌شوند اما نتاج آن‌ها عقیم می‌باشد. اگرچه نتاج آن‌ها عقیم می‌باشد اما شباهت در ژنوم آن‌ها و در موتیف‌های مورد بررسی با این آغازگرها به اندازه‌ای می‌باشد که کروموزوم‌های آن‌ها با یکدیگر جفت شود. شباهت در ژن‌ها و موتیف‌های دو گونه می‌تواند از

دلایل اصلی قرار گرفتن این دو گونه در یک گروه باشد. دلیل دیگر کم بودن تعداد نشانگرهای مورد استفاده برای ژنوم A می‌باشد به خاطر شباهت بالایی که بین این دو گونه در سطح ژنوم وجود دارد این تعداد آغازگر نتوانسته است آن‌ها را از یکدیگر جدا کند. شباهتی که بین این دو گونه در غرب و شمال‌غرب ایران مشاهده می‌شود نشان‌دهنده این مطلب است که این منطقه از کشور که به عنوان شرق هلال حاصل‌خیزی مطرح است، مرکز پیدایش این دو گونه می‌باشد. از این‌رو پژوهش در این منطقه از هلال حاصل‌خیزی برای پی بردن به تنوع ژنتیکی و پیدا کردن ژن‌های مقاومت به تنش‌های زنده و غیرزنده و همچنین بهبود کیفیت و عملکرد نان از اهمیت ویژه‌ای برخوردار است. براساس ماتریس نبود تشابه دایس دو جمعیت گندم *T. monococcum* کمترین فاصله را از یکدیگر داشتند. همچنین بیشترین فاصله مربوط به *T. urartu* جمع‌آوری شده از اهر و *T. boeoticum* جمع‌آوری شده از کرمانشاه و همچنین *T. boeoticum* های جمع‌آوری شده از اهر و سفید دشت لرستان بود (جدول ۵). آگاهی از تنوع ژنتیکی ژرمپلاسم گیاهان وحشی اهمیت زیادی در شناسایی و انتقال ژن‌های مطلوب از این گیاهان به گیاهان زراعی دارد. ضریب کوانتیک بدست آمده از ماتریس نبود تشابه اولیه و ماتریس به دست آمده از درخت فیلوژنتیکی ۰/۸۴ بود که نشان می‌دهد ۸۴ درصد اطلاعات اولیه ماتریس در ترسیم درخت فیلوژنتیک مورد استفاده قرار گرفته است. در گروه‌بندی انجام شده جمعیت‌های جمع‌آوری شده از مناطق جغرافیایی متفاوت در کنار یکدیگر قرار گرفتند مثلاً *T. boeoticum* های جمع‌آوری شده از کرمانشاه و ناغان در یک گروه قرار گرفتند. به نظر می‌رسد بین مناطق جغرافیایی و روابط ژنتیکی رابطه‌ای وجود نداشته باشد. این موضوع به واسیله ساسانوما و همکاران (۲۰۰۲) مورد تأیید قرار گرفت. از طرف دیگر مقدم و همکاران (۲۰۰۰) بیان کردند مناطق جغرافیایی نزدیک به هم ممکن است از نظر اکولوژیکی با یکدیگر کاملاً متفاوت باشند همچنین مناطقی که از نظر جغرافیایی با یکدیگر فاصله دارند ممکن است از نظر فیزوکلیماتیکی به یکدیگر شبیه باشند که به خاطر قرار گرفتن جمعیت‌ها در مناطق میکروکلیمات مشابه می‌باشند. در ضمن چون مناطق غرب و شمال‌غربی ایران مراکز پیدایش گندم می‌باشند (هارلن و زوهاری، ۱۹۹۶) ممکن است بین گونه‌های وحشی شباهت زیادی از نظر ژنتیکی مشاهده شود. در درخت فیلوژنتیکی جمعیت‌های جمع‌آوری شده از مکان‌های مشابه در گروه‌های مختلف قرار گرفتند که احتمالاً به خاطر جهش‌هایی می‌باشد که در موتیف‌ها رخ داده و یا ممکن است به خاطر تلاقي محدودی باشد که بین آن‌ها اتفاق افتاده است (حاج منصور و همکاران، ۲۰۱۱). همچنین جمعیت‌هایی که در کنار یکدیگر و در یک گروه قرار گرفتند مربوط به مناطق یکسان نبودند که در این مورد تشابه شرایط میکروکلیمایی و همچنین تبادل فیزیکی مواد

ژنتیکی بین این مکان‌ها مؤثر بوده است. در تجزیه خوش‌های انجام گرفته هیچ گروه‌بندی براساس منطقه جمع‌آوری جمعیت‌های مختلف نیز مشاهده نشد (شکل ۲). در مطالعه قبلی که بر روی گندهای اینکورن انجام گرفته است جمعیت‌ها از نظر جغرافیایی از یکدیگر جدا شدند (هامر و همکاران، ۲۰۰۰). از عوامل مؤثر بر این موضوع می‌توان تفاوت در نشانگرهای مورد استفاده، تفاوت در جمعیت‌های مورد استفاده که از مناطق مختلف هلال حاصل خیزی بوده‌اند و سوم اندازه جمعیت را نام برد. بالا بودن محتوای اطلاعات چندشکلی نشان‌دهنده تنوع بالای بین جمعیت‌های مورد بررسی بود (جدول ۳). در گونه‌های *T. urartu* و *T. boeoticum* ۲۲ آغازگر تکثیر شدند که از میان آن‌ها بهترتب تنها ۱۶ و ۱۱ آغازگر چندشکلی مناسب از خود نشان داد. اما در گونه *T. monococcum* ۲۰ آغازگر تکثیر شد که تنها ۵ آغازگر چندشکلی مناسب از خود نشان داد. میانگین تعداد الی در سه گونه *T. boeoticum* و *T. monococcum* و *T. urartu* بهترتب ۳/۱۰، ۶/۳۶ و ۲/۹۵ بود (جدول ۴). فاصله ژنتیکی در سه گونه به صورت مجزا مورد بررسی قرار گرفت که نشان داد در گونه *T. monococcum* بیشترین فاصله ژنتیکی مربوط به جمعیت‌های شماره ۱۷ و ۲۰ و کمترین فاصله ژنتیکی مربوط به جمعیت‌های شماره ۱۷ و ۱۸ می‌باشد. در گونه *T. boeoticum* بیشترین فاصله ژنتیکی مربوط به جمعیت‌های شماره ۲ و ۶ بود. در گونه *T. urartu* نیز بیشترین فواصل ژنتیکی مربوط به جمعیت‌های شماره ۲۱ و ۲۲ بود (جدول ۵). این موضوع نشان می‌دهد که جمعیت‌های جمع‌آوری شده از شمال‌غرب ایران تنوع بیشتری نسبت به جمعیت‌های جمع‌آوری شده از غرب کشور دارند. تجزیه به مختصات اصلی کاربرد زیادی در تجزیه تنوع ژنتیکی دارد. میزان واریانس نسبی هر مؤلفه نشان‌دهنده اهمیت آن مؤلفه در واریانس کل است و به صورت درصد بیان می‌شود. در این تجزیه، دو مؤلفه اصلی ۴۴/۴۲ درصد تغییرات را توجیه می‌کرد که ۲۲/۱۰ درصد توسط بعد اول و ۲۰/۳۴ توسط بعد دوم توجیه گردید که نشان می‌دهد آغازگرهای مورد استفاده به خوبی بر روی کل ژنوم پراکنده شده‌اند (شکل ۳). از آنجا که در ابتدای پژوهش نیز از هر کروموزوم حداقل سه آغازگر انتخاب شده بود نشان داد آغازگرهای انتخابی به صورت مناسبی در کل ژنوم پراکنده شده‌اند نتایج تجزیه به مختصات اصلی نیز تا حدودی نتایج تجزیه خوش‌های را تأیید کرد. گرچه هر دو روش تجزیه به مختصات اصلی و تجزیه خوش‌های، گروه‌بندی را انجام می‌دهند، اما تجزیه خوش‌های براساس ۱۰۰ درصد اطلاعات نشانگری ولی تجزیه به مختصات اصلی براساس ۴۴/۴۲ درصد گروه‌بندی را انجام داد، بنابراین انتظار نمی‌رود ۱۰۰ درصد هم خوانی بین آن‌ها وجود داشته باشد.

مجله الکترونیک تولید گیاهان زراعی، جلد ششم (۲)، ۱۳۹۲

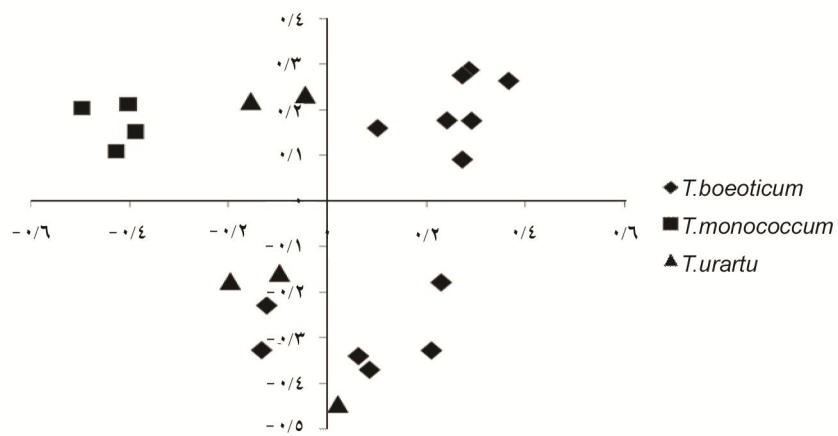
۱	۲	۳	۴	۵	۶	۷	۸	۹	۱۰	۱۱	۱۲	۱۳	۱۴	۱۵	۱۶	۱۷	۱۸	۱۹	۲۰	۲۱
۱/۰۹۲																				
۲/۰۸۶	۰/۰۸۰	۱/۰۸۰	۰/۰۸۱	۰/۰۸۲	۰/۰۸۳	۰/۰۸۴	۰/۰۸۵	۰/۰۸۶	۰/۰۸۷	۰/۰۸۸	۰/۰۸۹	۰/۰۸۰	۰/۰۸۱	۰/۰۸۲	۰/۰۸۳	۰/۰۸۴	۰/۰۸۵	۰/۰۸۶	۰/۰۸۷	۰/۰۸۸
۳/۰۰۰																				
۴/۰۸۹	۰/۰۸۰	۱/۰۸۰	۰/۰۸۱	۰/۰۸۲	۰/۰۸۳	۰/۰۸۴	۰/۰۸۵	۰/۰۸۶	۰/۰۸۷	۰/۰۸۸	۰/۰۸۹	۰/۰۸۰	۰/۰۸۱	۰/۰۸۲	۰/۰۸۳	۰/۰۸۴	۰/۰۸۵	۰/۰۸۶	۰/۰۸۷	۰/۰۸۸
۵/۰۴۰	۰/۰۴۰	۱/۰۴۰	۰/۰۴۱	۰/۰۴۲	۰/۰۴۳	۰/۰۴۴	۰/۰۴۵	۰/۰۴۶	۰/۰۴۷	۰/۰۴۸	۰/۰۴۹	۰/۰۴۰	۰/۰۴۱	۰/۰۴۲	۰/۰۴۳	۰/۰۴۴	۰/۰۴۵	۰/۰۴۶	۰/۰۴۷	۰/۰۴۸
۶/۰۴۳	۰/۰۴۳	۱/۰۴۳	۰/۰۴۴	۰/۰۴۵	۰/۰۴۶	۰/۰۴۷	۰/۰۴۸	۰/۰۴۹	۰/۰۴۰	۰/۰۴۱	۰/۰۴۲	۰/۰۴۳	۰/۰۴۴	۰/۰۴۵	۰/۰۴۶	۰/۰۴۷	۰/۰۴۸	۰/۰۴۹	۰/۰۴۰	۰/۰۴۱
۷/۰۰۰																				
۸/۰۷۹	۰/۰۷۰	۱/۰۷۰	۰/۰۷۱	۰/۰۷۲	۰/۰۷۳	۰/۰۷۴	۰/۰۷۵	۰/۰۷۶	۰/۰۷۷	۰/۰۷۸	۰/۰۷۹	۰/۰۷۰	۰/۰۷۱	۰/۰۷۲	۰/۰۷۳	۰/۰۷۴	۰/۰۷۵	۰/۰۷۶	۰/۰۷۷	۰/۰۷۸
۹/۰۱۲	۰/۰۱۰	۱/۰۱۰	۰/۰۱۱	۰/۰۱۲	۰/۰۱۳	۰/۰۱۴	۰/۰۱۵	۰/۰۱۶	۰/۰۱۷	۰/۰۱۸	۰/۰۱۹	۰/۰۱۰	۰/۰۱۱	۰/۰۱۲	۰/۰۱۳	۰/۰۱۴	۰/۰۱۵	۰/۰۱۶	۰/۰۱۷	۰/۰۱۸
۱۰/۰۰۳	۰/۰۰۳	۱/۰۰۳	۰/۰۰۴	۰/۰۰۵	۰/۰۰۶	۰/۰۰۷	۰/۰۰۸	۰/۰۰۹	۰/۰۰۰	۰/۰۰۱	۰/۰۰۲	۰/۰۰۳	۰/۰۰۴	۰/۰۰۵	۰/۰۰۶	۰/۰۰۷	۰/۰۰۸	۰/۰۰۹	۰/۰۰۰	۰/۰۰۱
۱۱/۰۰۷	۰/۰۰۷	۱/۰۰۷	۰/۰۰۸	۰/۰۰۹	۰/۰۰۱	۰/۰۰۲	۰/۰۰۳	۰/۰۰۴	۰/۰۰۵	۰/۰۰۶	۰/۰۰۷	۰/۰۰۰	۰/۰۰۱	۰/۰۰۲	۰/۰۰۳	۰/۰۰۴	۰/۰۰۵	۰/۰۰۶	۰/۰۰۷	۰/۰۰۸
۱۲/۰۰۷	۰/۰۰۷	۱/۰۰۷	۰/۰۰۸	۰/۰۰۹	۰/۰۰۱	۰/۰۰۲	۰/۰۰۳	۰/۰۰۴	۰/۰۰۵	۰/۰۰۶	۰/۰۰۷	۰/۰۰۰	۰/۰۰۱	۰/۰۰۲	۰/۰۰۳	۰/۰۰۴	۰/۰۰۵	۰/۰۰۶	۰/۰۰۷	۰/۰۰۸
۱۳/۰۰۰																				
۱۴/۰۰۰																				
۱۵/۰۰۰																				
۱۶/۰۰۰																				
۱۷/۰۰۰																				
۱۸/۰۰۰																				
۱۹/۰۰۰																				
۲۰/۰۰۰																				
۲۱/۰۰۰																				
۲۲/۰۰۰																				

جدول ۵- ضرایب نزد شتابه برآورد شده بین جمعیت های مختلف گندم اینکوئن.

هادی خارستانی و همکاران

جدول ۶- میانگین تعداد الی در گندم‌های اینکورن.

گونه	میانگین تعداد الی
<i>T. boeoticum</i>	۶/۳۶
<i>T. urartu</i>	۲/۹۵
<i>T. monococcum</i>	۳/۱۰



شکل ۳- تجزیه به مختصات اصلی دو بعدی در گونه‌های مختلف گندم اینکورن.

نتیجه‌گیری

در نهایت نتایج نشان داد با توجه به این که انتخاب براساس نشانگرهای مولکولی یک روش سریع در برنامه‌های اصلاحی است و اطلاعات ژنتیکی به دست آمده از نشانگرهای مولکولی در برنامه‌های اصلاحی نقش مهمی را ایفا می‌کنند، بنابراین برای انتخاب ژنوتیپ برتر در بین ارقامی که وابستگی زیادی به هم دارند، انتخاب والدین مناسب، بررسی مخازن ژنی، ژن‌های مقاوم به بیماری و تنش‌های محیطی، کاهش هزینه‌های نقشه‌های پیوستگی و تلفیقی نشانگر ریزماهواره بسیار ارزشمند است (لن و تامسون، ۱۹۹۰). انتخاب و استفاده از تعداد بیشتری آغازگر ریزماهواره با پراکنش کروموزومی بالاتر که بتوانند مکان‌های ژنی مختلف را با تعداد آلل‌های بیشتر بر روی کروموزوم‌های مختلف تکثیر تا همه تفاوت‌ها و شباهت‌ها را آشکار کنند، پیشنهاد می‌شود. نتایج این پژوهش نشان داد تنوع بسیار بالایی بین جمعیت‌های وحشی گندم اینکورن در غرب ایران وجود دارد که از این منابع ارزشمند ژنتیکی می‌توان برای شناسایی ژن‌های مقاومت به تنش‌های زنده و غیرزنده و همچنین ژن‌های بهبود پروتئین و آمینو اسید و انتقال آن‌ها به گندم‌های زراعی استفاده کرد.

منابع

1. Anderson, J.A., Churchill, G.A., Autrique, J.E., Tanksley, S.D., and Sorrells, M.E. 1993. Optimizing parental selection for genetic linkage maps. *Genome*. 36: 181-186.
2. Cox, T.S., Lookhart, G.L., Walker, D., Harrell, E.G., Albers, L.D., and Rodgers, M.D. 1985. Genetic relationships among hard red winter wheat cultivars as evaluated by pedigree analysis and gliadin polyacrylamide-gel electrophoretic patterns. *Crop Sci.* 25: 1058-1063.
3. Dvorak, J., Terlizzi, P.D., Zhang, H.B., and Resta, P. 1993. The evolution of polyploid wheats: identification of the A genome donor species. *Genome*. 36: 21-31.
4. Doyle, J.J., and Dickson, E.E. 1987. Preservation of plant samples for DNA restriction endonuclease analysis. *Taxon*. 36: 715-722.
5. Haj Mansoor, Sh., Bihamta, M.R., Nabipour, A.R., Mohammadi, A., Pirzadi, M., and Nikkhah, H.R. 2011. Genetic diversity in barley genotypes: II. Microsatellite markers and morphological traits. *Seed and Plant Breed. J.* 26: 150-171.
6. Hammer, K., Filatenko, A.A., and Korzun, V. 2000. Microsatellite markers-a new tool for distinguishing diploid wheat species. *Genet. Resour. Crop Evol.* 47: 497-505.
7. Harlan, J.R., and Zohary, D. 1996. Cultivated einkorn=*Triticum monococcum* L. subsp. *monococcum* (*Triticum mono monococcum*); wild einkorn=T. m. *boeoticum*; and *Triticum monococcum* L. subsp. *aegiliopoides* (*Triticum mono aegiliopoides*). *Science*. 153: 1074-1080.
8. Kimber, G., and Feldman, M. 1987. Wild Wheat: An Introduction. University of Missouri, Columbia. Special Report. 353p.
9. Lande, R., and Thomson, R. 1990. Efficiency of marker-assisted selection in the improvement of quantitative traits. *Genetics*. 124: 743-750.
10. Lelley, T., Stachel, M., Grausgruber, H., and Vollmann, J. 2000. Analysis of relationships between *Aegilops tauschii* and the D genome of wheat utilizing microsatellites. *Genome*. 43: 661-668.
11. Miller, P.J., Parfitt, D.E., and Weinbaum, S.A. 1989. Out crossing in peach. *Hort. Sci.* 24: 359-360.
12. Mizumoto, K., Hirosawa, S., Nakamura, C., and Takumi, S. 2002. Nuclear and chloroplast genome genetic diversity in the wild einkorn wheat (*Triticum urartu*), revealed by AFLP and SSLP analyses. *Hereditas*. 137: 208-214.
13. Moghaddam, M., Ehdaie, B., and Waines, G. 2000. Genetic diversity in populations of wild diploid wheat (*Triticum urartu* Thum. ex. Gandil). Revealed by Isozymes markers. *Genet. Resour. Crop Evol.* 47: 323-334.

- 14.Paillard, S., Schnurbusch, T., Winzeler, M., Messmer, M., Sourdille, P., Abderhalden, O., Keller, B., and Schachermayr, G. 2003. An integrative genetic linkage map of winter wheat (*Triticum aestivum* L.). *Theor. Appl. Genet.* 107: 1235-1242.
- 15.Plaschke, J., Ganal, M.W., and Roder, M.S. 1995. Detection of genetic diversity in closely related bread wheat using microsatellite markers. *Theor. Appl. Genet.* 91: 1001-1007.
- 16.Roder, M.S., Korzun, V., Wendehake, K., Plaschke, J., Tixier, M.H., Leroy, P., and Ganal, M.W. 1998. A microsatellite map of wheat. *Genetics*. 149: 2007-2023.
- 17.Sasanuma, T., Chabane, K., Endo, T.R., and Valkoun, J. 2002. genetic diversity of wild wheat relatives in the near east detected by AFLP. *Euphytica*. 127: 81-93.
- 18.Soleimani, V.D., Baum, B.R., and Johnson, D.A. 2002. AFLP and pedigree-based genetic diversity estimates in modern cultivars of durum wheat [*Triticum turgidum* L. subsp. *durum* (Desf.) Husn.]. *Theor. Appl. Genet.* 104: 350-357.
- 19.Somers, D.J., Isaac, P., and Edwards, K. 2004. A high-density microsatellite consensus map for bread wheat (*Triticum aestivum* L.). *Theor. Appl. Genet.* 109: 1105-1114.
- 20.Teklu, Y., Hammer, K., Huang, X.Q., and Roder, M.S. 2006. Analysis of microsatellite diversity in Ethiopian tetraploid wheat landraces. *Genet. Resour. Crop Evol.* 53: 1115-1126.
- 21.Vaiman, D., Mercier, D., and Moazai, G. 1994. A set of 99 cattle microsatellite, characterization, synteny mapping and polymorphism, *Mamm. Genome*. 5: 288-297.
- 22.Wang, H., Wang, X., Chen, P., and Liu, D. 2007. Assessment of genetic diversity of Yunnan, Tibetan and Xinjiang wheat using SSR markers. *J. Genet. and Genom.* 34: 623-633.



Genetic diversity assessment of Einkorn wheat by using microsatellite markers

***H. Kharestani¹, A.A. Nasrolah Nejad Qomi² and A.A. Mehrabi³**

¹Former Graduate, Dept. of Agronomy and Plant Breeding, University of Ilam, ²Assistant Prof., Dept. of Agronomy and Plant Breeding, Gorgan University of Agricultural Sciences and Natural Resources, ³Assistant Prof., Dept. of Agronomy and Plant Breeding, University of Ilam

Received: 06/11/2012; Accepted: 03/24/2013

Abstract

Genetic diversity in 22 accessions of Einkorn wheat including thirteen accessions of *T. boeoticum*, four accessions of *T. monococcum* and five accessions of *T. urartu*, evaluated by 24 microsatellite markers originated from AA genome of bread wheat. Twenty of these SSRs amplified showed adequate amplification. Overall 86 alleles were observed for all locus. Polymorphism in locus ranged from 2-9 and with average of 4.1 in each locus. Polymorphism information content was varied from 0.09 (Xgwm99-1A) to 0.86 (Xgwm165-4A). Dendrogram constructed on dice dissimilarity coefficients by Neighbor-Joining algorithm separated accessions in three distinct groups. *T. monococcum* with two of *T. urartu* accessions made group I. but *T. boeoticum* and *T. urartu* species join together could not be separated and scattered in the other groups. Also these two einkorn wheat species had not genetically and geographically differentiation. The collected accessions from northwestern regions of Iran had too much more diversity than the western regions of country that we could use from this diversity for finding resistant genes about biotic (pest) and abiotic (drought and salt) stress.

Keywords: AA Genome, Einkorn, Genetic diversity, Microsatellite, wheat.

* Corresponding author; Email: kharestanihadi982@gmail.com